

WAHADŁA SPRZĘŻONE

T. Fąs

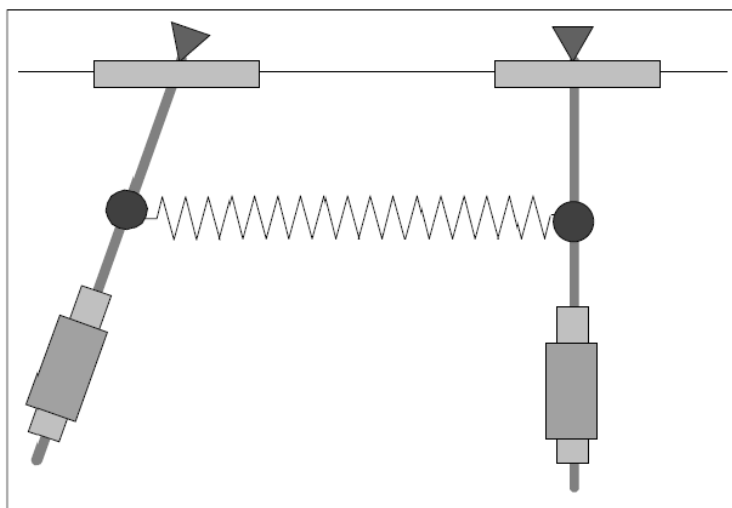
12 grudnia 2017

STRESZCZENIE

W doświadczeniu wyznaczano współczynnik sprężystości k sprężyny dwoma metodami. Otrzymano ostateczną wartość $k = (26,295030 \pm 0,000036)$ N/m.

WSTĘP

Ruch dwóch identycznych wahadeł o momencie bezwładności I połączonych sprężyną o współczynniku sprężystości k silnie zależy od warunków początkowych. Ich okresy różnią się zależności od wzajemnego położenia początkowego.



Rysunek 1: Wahadła sprzężone.

Dla układu przedstawionego na Rysunku 1, możliwe są następujące warunki:

1. Jeżeli wahadła są wychylone o taki sam kąt w tym samym kierunku, to ich okresy są identyczne i dane wzorem:

$$T_1 = 2\pi\sqrt{\frac{I}{mgr}}. \quad (1)$$

2. Jeżeli są wychylone o taki sam kąt, ale w przeciwne strony, to okres ich ruchu dany jest wzorem:

$$T_2 = 2\pi\sqrt{\frac{I}{mgr + 2ka^2}}. \quad (2)$$

3. Jeżeli jedno z wahadeł jest unieruchomione, to okres drgań drugiego z nich wyraża się wzorem:

$$T_0 = 2\pi\sqrt{\frac{I}{mgr + ka^2}}. \quad (3)$$

4. Jeżeli jedno z wahadeł początkowo spoczywa, to dochodzi do zjawiska okresowej zmiany amplitudy drgań wahadeł, czyli dudnień. W takim wypadku okres szybkich drgań dany jest wzorem:

$$T_s = \frac{2T_1T_2}{T_1 + T_2}, \quad (4)$$

a okres dudnień dany jest wzorem:

$$T_d = \frac{2T_1T_2}{T_1 - T_2}. \quad (5)$$

Przy czym w wzorach m oznacza masę wahadła, a jest odległością sprężyny od osi obrotu, a r odległością środka masy od osi obrotu.

Doświadczenie miało na celu pomiar tych wszystkich okresów drgań, sprawdzenie, czy zmierzone wartości T_s i T_d są zgodne z ich wartościami teoretycznymi oraz wyznaczenie współczynnika sprężystości k .

Inną metodą wyznaczania współczynnika sprężystości jest wykorzystanie prawa Hooke'a, które głosi, iż wydłużenie Δx sprężyny jest wprost proporcjonalne do działającej na nią siły F . Czyli:

$$F = k\Delta x. \quad (6)$$

Mierząc zmianę wydłużenia sprężyny przy działaniu znanej siły można w prosty sposób wyznaczyć stałą sprężystości k .

UKŁAD DOŚWIADCZALNY

Układ doświadczalny składał się z dwóch wahadeł, sprężyny, nitki, zapalniczki, stopera, miarki, ciężarków, ostrza pryzmatycznego i wagi.

Przy pomocy stopera mierzono okresy wahadeł, a przy pomocy nitki wiązano wahadła, by zwalniać je w tej samej chwili przepalając sznurek. Do przytrzymania jednego z wahadeł wykorzystano statyw.

W trakcie wykonywania pomiarów związanych z prawem Hooke'a sprężyna była zawieszona na statywie. Na sprężynie zawieszano kolejne ciężarki, a odchylenie mierzono przy pomocy miarki.

Również przy pomocy miarki zmierzono odległość sprężyny od osi obrotu. Przy pomocy ostrza pryzmatycznego wyznaczono położenie środka masy i miarką wyznaczono jego odległość od osi obrotu.

Aby upewnić się, czy wahadła są identyczne, badano ich synchronizację w trakcie kilkuminutowego ruchu. Stwierdzono, że ruch wahadeł jest zgodny w odpowiednio długim okresie.

WYNIKI POMIARÓW

W trakcie pomiarów mierzono, dla lepszej dokładności, dziesięć okresów T_1 , T_2 i T_0 oraz pięć okresów T_s . Planowano również zmierzyć wielokrotność okresów T_d , jednakże uciekający czas eksperymentu na to nie pozwolił. Wyniki pomiarów przedstawiono w Tabeli 1. Pomiar przeprowadzono dla wartości $r = 81,9$ cm,

Tabela 1: Wyniki pomiarów okresów.

$10T_1$ [s]	$10T_2$ [s]	T_d [s]	$5T_s$ [s]	$10T_0$ [s]
18,91	16,06	20,75	9,44	17,18
18,88	15,78	20,50	9,41	17,18
18,88	16,08	20,87	9,41	17,19
18,81	16,00	20,91	9,43	17,16
18,97	15,84	20,97	9,50	17,19
19,03	16,00	20,82	9,53	17,13
18,87	15,94	20,31	9,50	17,10
18,84	15,93	20,87	9,47	17,15
18,78	16,00	20,78	9,47	17,13
18,90	15,97	20,69	9,41	17,19

$a = 41,5$ cm, masa m wahadła wynosiła $m = (3000 \pm 40)$ g. Rozdzielczość stopera wynosiła $\Delta_t = 0,01$ s, a czas reakcji obserwatora wynosił $t_r = 0,3$ s.

W przypadku rozciągania sprężyny wykonano pomiar długości od górnej krawędzi statywu do końca sprężyny. Różnica pomiędzy długością przy obciążeniu, a długością bez obciążenia jest szukanym wydłużeniem sprężyny. Pomiar masy był dokonywany przy pomocy wagi i ponawiany po każdym dodaniu nowego ciężarka. Tabela 2 przedstawia wyniki pomiarów dla tej części eksperymentu.

Tabela 2: Wyniki pomiarów: prawo Hooke’a.

Masa m ciężarków [g]	0	120,49	140,30	159,79	179,38	199,20	219,08	239,79	278,81	308,33	378,75
Długość x [cm]	34,0	38,3	39,5	40,0	40,7	41,5	42,3	43,0	44,2	45,7	47,9

ANALIZA DANYCH

Pomiary czasu dla każdej serii postanowiono uśrednić, korzystając ze średniej arytmetycznej:

$$\bar{T} = \sum_{i=1}^N \frac{T_i}{N}, \quad (7)$$

gdzie N jest liczbą pomiarów, w tym przypadku $N = 10$.

Ostateczne niepewności pomiarów czasu u_T obliczono, korzystając z odchylenia standardowego średniej s , które jest wyrażone wzorem:

$$s_T^2 = \sum_{i=1}^N \frac{(T_i - \bar{T})^2}{N(N-1)} \quad [1] \quad (8)$$

oraz ze związku pomiędzy odchyleniem standardowym średniej, a maksymalnym dopuszczalnym błędem pomiaru Δ :

$$u_T = \sqrt{s_T^2 + \frac{\Delta_T^2}{3} + t_r^2}. \quad (9)$$

Następnie przeniesiono to na grunt pojedynczych okresów, czyli wielkości podzielono przez 10 lub 5. Wyniki analizy przedstawia Tabela 3.

Tabela 3: Analiza okresów.

	$10T_1$ [s]	$10T_2$ [s]	T_d [s]	$5T_s$ [s]	$10T_0$ [s]
Średnia	18,89	15,96	20,75	9,46	17,16
Odchylenie	0,023	0,029	0,064	0,014	0,010
Pojedynczy okres	1,889	1,596	20,75	1,891	1,716
Ostateczna niepewność	0,030	0,030	0,31	0,060	0,030

Porównanie okresów T_s i T_d z ich wartościami teoretycznymi wynikającymi z Równania (4) i Równania (5) przeprowadzono, korzystając z testu 3σ . Polega on na sprawdzeniu, czy różnica dwóch porównywanych wielkości jest mniejsza od trzykrotności niepewności tej różnicy. W tym przypadku niepewność związaną z wartościami teoretycznymi T_s i T_d obliczono, korzystając z metody propagacji małych błędów. Wzór przenoszenia niepewności w tej metodzie jest następujący:

$$u_f^2 = \sum_{i=1}^n \left(\frac{\partial f}{\partial x_i} u_i \right)^2, \quad (10)$$

gdzie wielkość f zależy od wielkości x_i o niepewnościach u_i [2].

Otrzymano wartości $T_{s2} = 1,730 \pm 0,022$ s oraz $T_{d2} = 20,60 \pm 3,08$ s. Tak więc różnica $T_s - T_{s2}$ wynosi 0,161 s przy niepewności 0,064 s, a różnica $T_d - T_{d2}$ wynosi 0,15 s przy niepewności 3,1 s. Jak widać, obie te wielkości są ze sobą zgodne na poziomie 3σ .

W dalszej części analizy skupiono się na współczynniku sprężystości k . Korzystając z Równania (1), Równania (2) i Równania (3) oraz wiedząc że $2\pi = T_i \omega_i$ otrzymano:

$$k_1 = \frac{(\omega_2^2 - \omega_1^2) mgr}{2a^2 \omega_1^2}. \quad (11)$$

$$k_2 = \frac{(\omega_0^2 - \omega_1^2) mgr}{a^2 \omega_1^2}. \quad (12)$$

Niepewność tych współczynników obliczono, korzystając z Równania (10), uprzednio wyznaczając niepewności ω_i . Za niepewności pomiaru r i a przyjęto 1 mm, ponieważ ustawienie miarki dokładnie w punkcie obrotu było utrudnione. Wykorzystano wartość $g = 9,80665$ m/s². Otrzymano wartości: $k_1 = (28,0 \pm 4,6)$ N/m, $k_2 = (29,6 \pm 8,0)$ N/m. Przy tak dużych niepewnościach wartości bez problemu przechodzą test σ . Aby uzyskać

lepszą ocenę wartości współczynnika k obliczono średnią ważoną obu otrzymanych współczynników. Średnia ważona N wielkości x_i o niepewnościach u_i zdefiniowana jest w następujący sposób:

$$\bar{x}_w = \frac{\sum_{i=1}^N \frac{x_i}{u_i^2}}{\sum_{i=1}^N \frac{1}{u_i^2}}. \quad (13)$$

Niepewności średniej ważonej wrażają się w następującymi wzorami:

$$u_{int}^2 = \frac{1}{\sum_{i=1}^N \frac{1}{u_i^2}}, \quad (14)$$

$$u_{ext}^2 = \frac{u_{int}^2}{N-1} \sum_{i=1}^N \left(\frac{x_i - \bar{x}_w}{u_i} \right)^2. \quad (15)$$

Jako ostateczną niepewność niepewność wielkości \bar{x}_w wybiera się większą z niepewności u_{int} lub u_{ext} [3].

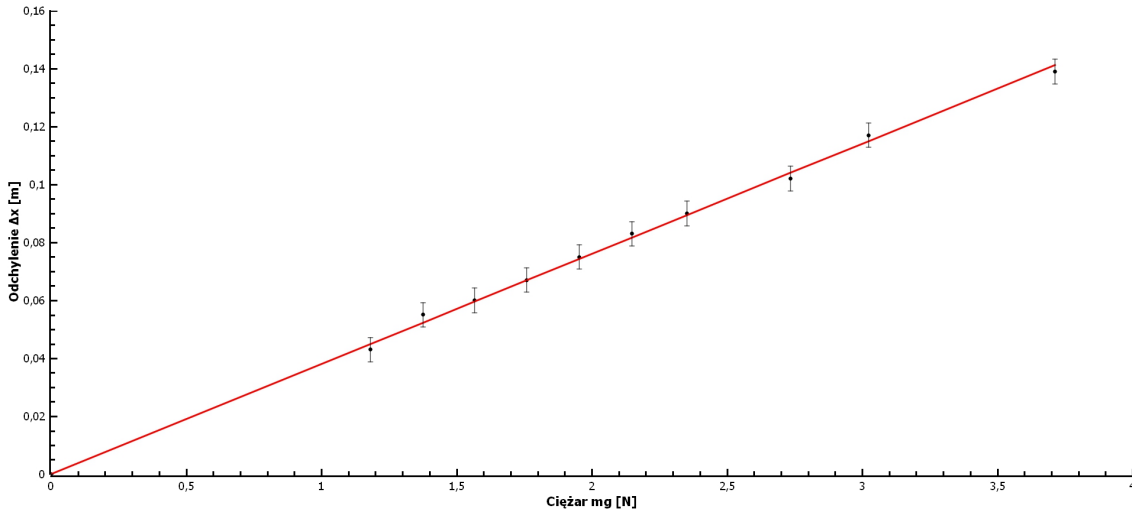
Po podstawieniu odpowiednich wartości otrzymano $k = 28,4 \pm 4,2$ N/m.

W przypadku analizy danych związanych z prawem Hooke'a niepewność pomiaru masy wynosiła 0,01 g, a niepewność długości przyjęto jako 3 mm, ponieważ ciężko było znaleźć łatwo dostępny punkt charakterystyczny znakujący koniec sprężyny. Aby wyznaczyć współczynnik sprężystości postanowiono do otrzymanych danych dopasować prostą. Jako, że niepewność związana z wydłużeniem sprężyny jest procentowo większa od niepewności pomiaru masy ciężarków, to na osi OY zdecydowano się odłożyć wielkość Δx . Dodatkowo, dla wygody analizy, zamieniono jednostki na metry i kilogramy i obliczono siłę ciężaru związaną z danym ciężarkiem. Niepewność wydłużenia obliczono z Równania (10). Ostateczne wartości punktów wraz z niepewnościami przedstawiono w Tabeli 4.

Tabela 4: Analiza danych: prawo Hooke'a.

Ciężar mg [N]	0	1,182	1,376	1,567	1,759	1,953	2,148	2,352	2,734	3,024	3,714
Wydłużenie Δx [m]	0	0,043	0,055	0,060	0,067	0,075	0,083	0,090	0,102	0,117	0,139
Niepewność wydłużenia [m]	0	0,004	0,004	0,004	0,004	0,004	0,004	0,004	0,004	0,004	0,004

Z Równania (6) wynika, że efektem dopasowania powinna być prosta, o współczynniku kierunkowym równym odwrotności stałej sprężystości: $\Delta x = mg/k$. Aby dopasować prostą do punktów z Tabeli 4 posłużono się programem SciDavis. Otrzymaną w ten sposób krzywą najlepszego dopasowania przedstawiono na Rysunku 2.



Rysunek 2: Wahadła sprężone.

Współczynnik kierunkowy tej krzywej wynosi $1/k = 0,03803000000 \pm 0,000000052727$ m/N, a wartość $\chi^2 = 1,48$. Wartość ta jest mniejsza od wartości krytycznej, tak więc dane są niesprzeczne z Równaniem (6).

Odwracając współczynnik kierunkowy otrzymano wartość współczynnika $k = 26,295030 \pm 0,000036$ N/m. Wielkość ta, na mocy testu 3σ jest zgodna z poprzednio otrzymaną wartością współczynnika. Zastosowanie średniej ważonej do obu tych wielkości zwraca praktycznie taki sam wynik, jak obliczony właśnie współczynnik. Dlatego też ostateczna wartość stałej sprężystości wynosi $k = 26,295030 \pm 0,000036$ N/m.

DYSKUSJA WYNIKÓW I WNIOSKI

Otrzymana wartość współczynnika cechuje się niewiarygodnie niską niepewnością, jednakże patrząc na bardzo dobre dopasowanie prostej do punktów oraz na wartości niepewności, które same w sobie są niskie, to otrzymanie takiej wartości dziwi trochę mniej. Zdecydowanie mniej dziwi zgodność wyników w przypadku okresów dudnień i drgań szybkich. Dysponując wielokrotnymi pomiarami oraz zsynchronizowanymi wahadłami otrzymanie zgodnych wyników było niemal pewne. Ostatecznie można uznać uzyskane wyniki za zadowalające.

Literatura

- [1] J. R. Taylor, *Wstęp do analizy błędu pomiarowego*, PWN, Warszawa, 1995, s. 101.
- [2] J. R. Taylor, *Wstęp do analizy błędu pomiarowego*, PWN, Warszawa, 1995, s. 175.
- [3] J. R. Taylor, *Wstęp do analizy błędu pomiarowego*, PWN, Warszawa, 1995, s. 169.